

FAG

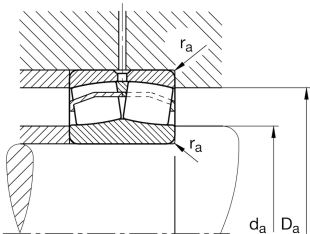
**22318-E1-XL-T41D**

Rodamiento oscilante de rodillos

Rodamientos oscilantes de rodillos 223...-E1-T41A, para solicitaciones oscilantes, con tolerancias de diámetro reducidas

X-life

## Información técnica



## Variante de su producto actual

Ejecución	E1	Sin borde central
Tipo de agujero	Z	Cilíndrico
Jaula	JPA	Jaula de chapa de acero
Juego radial del rodamiento	C4 (Group 4)	Internal clearance larger than C3
Función de relubricación	Norma	Estándar
Rodamiento oscilante de rodillos para cribas vibratorias	T41D	Para cribas vibratorias, agujero en la fina capa con recubrimiento de cromo

## Medidas principales y datos de rendimiento

d	90 mm	Diámetro del agujero
D	190 mm	Diámetro exterior
B	64 mm	Anchura
C <sub>r</sub>	610.000 N	Capacidad de carga dinámica, radial
C <sub>0r</sub>	630.000 N	Capacidad de carga estática, radial
C <sub>ur</sub>	56.000 N	Límite de carga por fatiga, radial
n <sub>G</sub>	3.850 1/min	Velocidad límite de rotación
n <sub>gr</sub>	3.000 1/min	Velocidad de referencia
m	8,528 kg	Peso



### Medidas de montaje

$d_{a \min}$	104 mm	Diámetro mínimo resalte del eje
$D_{a \max}$	176 mm	Diámetro máximo del resalte del alojamiento
$r_{a \max}$	2,5 mm	Radio máximo de la ranura

### Medidas

$r_{\min}$	3 mm	Medidas mínimas del chaflán
$D_1$	162,5 mm	Diámetro del agujero del anillo exterior
$d_2$	110,2 mm	Diámetro de la pista de rodadura del anillo interior
$d_s$	6,3 mm	Diámetro del agujero de engrase
$n_s$	12,2 mm	Anchura de la ranura de lubricación

### Rango de temperatura

$T_{\min}$	-30 °C	Temperatura mín. de funcionamiento
$T_{\max}$	200 °C	Temperatura máx. de funcionamiento

### Factores de cálculo

$e$	0,33	Valor límite de $F_a/F_r$ para la aplicabilidad de dif. Valores de los factores X e Y
$Y_1$	2,03	Factor de carga axial dinámica
$Y_2$	3,02	Factor de carga axial dinámica
$Y_0$	1,98	Factor de carga axial estática